

Московский Физико - Технический институт  
( Государственный университет )  
Факультет Общей и Прикладной Физики  
группа 5276  
кафедра "Проблемы теоретической физики"

**Игорь Сергеевич Бурмистров**  
научный руководитель:  
к.ф.-м.н. М. А. Баранов  
РНИЦ "Курчатовский институт"

**ИССЛЕДОВАНИЕ ПЕРЕХОДА МЕТАЛЛ-ДИЭЛЕКТРИК В ПРОСТРАНСТВЕ  
РАЗМЕРНОСТИ ОКОЛО ДВУХ**

Дипломная работа  
на соискание ученой степени магистра наук

Черноголовка 2001

## I. ВВЕДЕНИЕ

Недавно была предложена обобщенная эффективная теория для режима квантового эффекта Холла, описывающая взаимодействующий двумерный электронный газ при наличии беспорядка и сильного магнитного поля<sup>1</sup>. Эта теория включает следующие основные аспекты задачи: беспорядок, кулоновское взаимодействие, магнитное поле и топологическую природу инстантонного вакуума. Большинство результатов, имеющих на данный момент, по режиму квантового эффекта Холла могут быть получены из обобщенной теории, рассмотрением пределов слабой и сильной связи. В частности, теория в режиме слабой связи воспроизводит метод композитных фермионов для полупростого квантового эффекта Холла<sup>2</sup>. С другой стороны, теория в режиме сильной связи описывает последовательность Джейна для дробного квантования холловской проводимости<sup>3</sup> и дает нам микроскопическую теорию неупорядоченных киральных краевых состояний<sup>4</sup>.

В начале 80-х, была разработана эффективная  $\sigma$ -модель, для задачи о неупорядоченном двумерном электронном газе с кулоновским взаимодействием<sup>5</sup>. Оказалось, что эта теория содержит важную симметрию ( $\mathcal{F}$  - инвариантность) - инвариантность при пространственно независимых поворотах матричного поля  $Q$ , что позволило включить в нее  $U(1)$  калибровочные поля и учесть наличие сильного магнитного поля<sup>1</sup>.

В этой работе мы изложим результаты исследования перехода металл-диэлектрик в спин-поляризованном электронном газе с кулоновским взаимодействием в случайном потенциале. Исследование будет основано на изучении линейного отклика системы на внешний вектор-потенциал. Мы будем работать с эффективным действием, описывающим низкоэнергетические диффузионные моды, предполагая, что вклад в куперовский канал подавлен магнитным полем. Необходимо отметить, что это действие является топологически тривиальным сектором обобщенной эффективной теории для режима квантового эффекта Холла<sup>1</sup>.

В работе вычислена двухпетлевая  $\beta$  - функция с помощью метода размерной регуляризации, доказана перенормируемость этой эффективной теории на двухпетлевом уровне (а значит, и обобщенной теории для режима квантового эффекта Холла), исследовано поведение системы в металлической фазе в окрестности перехода металл-диэлектрик в пространстве размерности  $d = 2 + 2\epsilon$ .

Изложение построено следующим образом: в Раз. II мы опишем эффективное действие, в Раз. III приведем выражение для проводимости через корреляторы полей  $Q$ , в Раз. IV представим результаты двухпетлевого вычисления проводимости, в Раз. V исследуем переход металл-диэлектрик в пространстве размерности  $d = 2 + 2\epsilon$ , найдем поправку к проводимости в пространстве  $d = 2$  и обсудим применение наших результатов к режиму квантового эффекта Холла.

## II. ЭФФЕКТИВНАЯ ТЕОРИЯ

Рассмотрим систему двумерных электронов с кулоновским взаимодействием в случайном потенциале  $V(\mathbf{r})$ , который мы будем предполагать дельта-коррелированным

$$\langle V(\mathbf{r})V(\mathbf{r}') \rangle = \frac{1}{2\pi\nu\tau} \delta(\mathbf{r} - \mathbf{r}'), \quad (1)$$

где  $\tau$  - время свободного пробега электронов, а  $\nu$  - термодинамическая плотность состояний. Такой случайный потенциал соответствует наличию в системе примесей с короткодействующим потенциалом. Будем предполагать электроны спин-поляризованными, т.е. рассматривать унитарный ансамбль.

Нас интересует эффективная теория для низкоэнергетических диффузных возбуждений, которая описывает длинноволновое поведение системы двумерных взаимодействующих электронов в случайном потенциале. В настоящей работе мы будем игнорировать куперовский канал, считая его вклад, подавленным слабым магнитным полем

$$H > \frac{c}{De\tau}, \quad (2)$$

где  $D$  - коэффициент диффузии.

Мы стартуем со следующего эффективного действия, полученного в<sup>1</sup>

$$Z = \int DQ \exp S[Q, A] \quad (3)$$

$$S[Q, A] = S_\sigma[Q, A] + S_F[Q] + S_U[Q, A] \quad (4)$$

$$S_\sigma = -\frac{\sigma_{xx}^0}{8} \text{Tr}[D_a, Q]^2 \quad (5)$$

$$S_F = \pi z_0 T \left( \sum_{\alpha n} \int_x \text{tr} I_n^\alpha Q \text{tr} I_{-n}^\alpha Q + 4 \text{Tr} \eta Q \right) \quad (6)$$

$$S_U = -\pi T \sum_{\alpha n} \int_{xx'} U(x, x') \text{tr} I_n^\alpha Q(x) \text{tr} I_{-n}^\alpha Q(x') \quad (7)$$

Различные символы в действии (3)-(7) имеют следующее значение:  $Q$  и  $I_n^\alpha$  матрицы в пространстве реплик ( верхние греческие индексы ) размера  $N_r \times N_r$  и в матцубаровском пространстве ( нижние латинские индексы ) размера  $2N_{max} \times 2N_{max}$ . Реплические индексы идут от 1 до  $N_r$ , тогда как частотные индексы от  $-N_{max}$  до  $N_{max} - 1$ . Унитарная матрица  $Q$  содержит электронные степени свободы и имеет вид

$$Q = T^{-1} \Lambda T, \quad T \in SU(2N) \quad (8)$$

где  $N = N_r n_{max}$  с  $n_{max} \ll N_{max}$  и  $\Lambda$  определяется как

$$\Lambda_{ik}^{\mu\nu} = \text{sgn } i \delta_{ik}^{\mu\nu} \quad (9)$$

Отметим, что матрица  $Q$  удовлетворяет следующим условиям

$$\text{tr} Q^2 = 1, \quad \text{tr} Q = 0 \quad (10)$$

Матрица  $I_n^\alpha$  живет в  $\alpha$ -ом канале, в то время как, в матцубаровском пространстве это единичная матрица с диагональю, сдвинутой на  $n$  позиций:

$$(I_n^\alpha)^{\mu\nu} = \delta^{\mu\alpha} \delta^{\nu\alpha} \delta_{i-k, n} \quad (11)$$

Символ  $D_a$  обозначает ковариантную производную

$$D_a = \partial_a - i \hat{A}_a, \quad a = x, y \quad (12)$$

где "шляпка" над вектор-потенциалом  $A_a$  в (12) обозначает суммирование с матрицами  $I$ ,

$$\hat{A}_a := \sum_{\beta n} (A_a)_n^\beta I_n^\beta \quad (13)$$

и  $(A_a)_n^\beta$  является фурье-образом вектор-потенциала  $A_a^\beta(\tau)$ , определенного в мнимом времени. Матрица  $\eta$  определяется как

$$\eta_{ik}^{\mu\nu} = i \delta_{ik}^{\mu\nu} \quad (14)$$

Обозначение  $\text{Tr}$  используется для матричного следа  $\text{tr}$ , соединенного с пространственным интегрированием. Величина  $\sigma_{xx}^0$  - это безразмерная проводимость в приближении самосогласованного поля, и в случае слабого магнитного поля ( $\omega_c \tau \ll 1$ )<sup>6</sup> они имеют вид<sup>6</sup>

$$\sigma_{xx}^0 = \frac{2\pi}{e^2} \frac{e^2 \rho D}{1 + (\omega_c \tau)^2} \quad (15)$$

где  $\omega_c = \frac{eB}{mc}$  - циклотронная частота.  $T$  обозначает температуру, и  $z_0 = \pi\nu/2 + z_0'$  - это синглетная амплитуда взаимодействия, в которой первый член соответствует статически экранированному кулоновскому взаимодействию, а в  $z_0'$  дают вклад неприводимые вершинные части<sup>5</sup>. Ядро  $U(x, x')$  в импульсном пространстве имеет вид

$$U(q) = \frac{\pi}{2} \frac{1}{\nu^{-1} + U_0(q)} \quad (16)$$

где  $U_0(q) = 2\pi e^2/q$  - фурье-образ кулоновского взаимодействия.

Действие (3)-(7) с равными нулю внешними вектор-потенциалами ( $A_a = 0$ ) имеет важную симметрию ( $\mathcal{F}$ -инвариантность), именно, инвариантность при пространственно независимых поворотах матричного поля  $Q$ <sup>1</sup>

$$Q \rightarrow e^{i\chi} Q e^{-i\chi}, \quad \chi = \chi(\tau) \quad (17)$$

Отметим, что т.к. мы не можем работать с бесконечными матрицами, то ниже всегда подразумевается, что все вычисления делаются с конечным  $N_{max}$  и только в конце вычислений берется предел  $N_{max} \rightarrow \infty$ .

### III. ЛИНЕЙНЫЙ ОТКЛИК

Рассмотрим действие (3)-(7) в пределе больших длин (малых импульсов). В этом случае удобно работать с более простой теорией, в которой ядро  $U$  заменено на  $\delta$ - функцию в реальном пространстве

$$U(\mathbf{r}) = \alpha\delta(\mathbf{r}) \quad (1)$$

Действие тогда примет вид<sup>9</sup>

$$S[Q, A] = -\frac{\sigma_0}{8} \text{Tr}[D_a, Q]^2 + \frac{\sigma_0 h_0^2}{4} \text{Tr} \Lambda Q + \frac{\pi z_0}{\beta} \left( \sum_{\alpha n} \int_x c_0 \text{tr} I_n^\alpha Q \text{tr} I_{-n}^\alpha Q + 4 \text{Tr} \eta Q \right) \quad (2)$$

где мы обозначили  $\sigma_{xx}^0$  как  $\sigma_0$  для краткости и ввели параметр  $c_0 = 1 - \alpha$  такой, что теория непрерывно переходит от кулоновского случая при  $\alpha = 0$  (этот предел нас и будет интересовать) до случая свободных частиц при  $\alpha = 1$ . Также мы добавили  $U(N) \times U(N)$  инвариантный регулятор пропорциональный  $h_0^2$ .

Мы хотим вычислить перенормированное значение проводимости  $\sigma'(n)$ , как функцию от внешней частоты  $\omega_n = 2\pi T n$ . Однако вычисления гораздо легче проводить при нулевой внешней частоте  $\omega_n = 0$ , но при не нулевом  $h_0$ . Известно, что перенормировка регулятора  $h_0$  определяется выражением<sup>9</sup>

$$\sigma_0 h_0^2 \langle Q \rangle = \sigma'(h')^2 \Lambda \quad (3)$$

Т.к. ненулевое значение  $\alpha$  в действии (2) нарушает  $\mathcal{F}$ -инвариантность теории, и величина  $\langle Q \rangle$  не является  $\mathcal{F}$ -инвариантной, то  $h'$  будет содержать расходимости в пределе  $\alpha \rightarrow 0$ . Но физически правильной является зависимость  $\sigma'$  от  $h'$ , в которой уже никаких расходимостей при  $\alpha \rightarrow 0$  содержаться не будет. Таким образом, нашей целью будет вычислить зависимость  $\sigma'(h')$  и затем из нее найти зависимость  $\sigma'(n)$ .

Эффективное действие для внешнего вектор-потенциала определяется согласно

$$\exp S_{eff}[A] = \int DQ \exp S[Q, A] \quad (4)$$

квадратичная часть которого имеет вид

$$S_{eff}^{(2)}[A] = \int_x \sum_{\alpha, n > 0} \sigma'(n) n (A_a(x))_n^\alpha (A_a(x))_{-n}^\alpha \quad (5)$$

Величина  $\sigma'(n)$  играет роль эффективной проводимости и может быть выражена через корреляторы полей  $Q$

$$\sigma'(n) = \langle O_1 \rangle + \langle O_2 \rangle \quad (6)$$

где среднее определено по отношению к действию (2) при нулевых внешних потенциалах ( $A_a = 0$ ) и операторы определены как

$$O_1 = -\frac{\sigma_0}{4n} \text{Tr}[I_n^\alpha, Q(x)][I_{-n}^\alpha, Q(x)] \quad (7)$$

$$O_2 = \frac{\sigma_0^2}{16nd} \text{Tr}[I_n^\alpha, Q(x)] \nabla Q(x) \text{Tr}[I_{-n}^\alpha, Q(x')] \nabla Q(x') \quad (8)$$

Здесь мы держим репличный канал фиксированным<sup>7</sup>. На классическом уровне  $Q = \Lambda$ , соотношения (6)-(8) дают  $\sigma' = \sigma_0$  как это и должно быть.

## IV. ВЫЧИСЛЕНИЕ ПРОВОДИМОСТИ В ПРОСТРАНСТВЕ РАЗМЕРНОСТИ $d = 2 + 2\epsilon$

### A. Формализм

Корреляторы матричных полей  $Q$  (6)-(8), определяющие проводимость, могут быть вычислены по теории возмущений. Для этого мы используем стандартную корневую параметризацию поля  $Q$

$$Q = \begin{pmatrix} \sqrt{1 - qq^\dagger} & q^\dagger \\ q & -\sqrt{1 - q^\dagger q} \end{pmatrix} \quad (1)$$

Тогда теория может быть представлена в виде бесконечного степенного ряда от независимых матричных полей  $q_{n_1 n_2}^{\mu\nu}$  и  $[q^\dagger]_{n_4 n_3}^{\mu\nu}$ . Мы предполагаем, что матцубаровские частоты с нечетными нижними индексами  $n_1, n_3, \dots$  принимают только неотрицательные значения, а с четными нижними индексами  $n_2, n_4, \dots$  - только отрицательные. Функция Грина для матричных полей  $q$  и  $q^\dagger$  может быть получена из анализа квадратичной части действия (2) и имеет вид<sup>9,10</sup>

$$\langle q_{n_1 n_2}^{\alpha\beta}(p)[q^\dagger]_{n_4 n_3}^{\gamma\delta}(-p) \rangle = \frac{4}{\sigma_0} \delta^{\alpha\delta} \delta^{\beta\gamma} \delta_{n_{12}, n_{34}} D_p(n_{12}) (\delta_{n_1 n_3} + \delta^{\alpha\beta} \kappa^2 z_0 c_0 D_p^c(n_{12})) \quad (2)$$

где

$$[D_p(n_{12})]^{-1} = p^2 + h_0^2 + \kappa^2 z_0 n_{12} \quad , \quad [D_p^c(n_{12})]^{-1} = p^2 + h_0^2 + \alpha \kappa^2 z_0 n_{12} \quad (3)$$

$$\kappa^2 = \frac{8\pi T}{\sigma_0} \quad (4)$$

Здесь мы обозначили для краткости  $n_{12} = n_1 - n_2$ .

Ранее, статическая ( $n = 0$ ) проводимость в пределе  $\alpha \rightarrow 0$  была найдена только в однопетлевом приближении<sup>9</sup>

$$\sigma' = \sigma_0 + \frac{4\Omega_d h_0^{2\epsilon}}{\epsilon} \quad , \quad \Omega_d = \frac{S_d}{2(2\pi)^d} \quad (5)$$

где  $S_d = 2\pi^{d/2}/\Gamma(d/2)$  -это поверхность  $d$ -мерной сферы.

### В. Двухпетлевое приближение

Рассматривая неквадратичную часть действия (2) как возмущение, мы получаем три различных члена, которые мы должны принять во внимание

$$S_{int}^{(3)} = -\frac{a\sigma_0}{8} \int_x \sum_{\beta, m > 0} \{ \text{tr} I_m^\beta q^\dagger \text{tr} I_{-m}^\beta [q, q^\dagger] + \text{tr} I_{-m}^\beta q \text{tr} I_m^\beta [q, q^\dagger] \} \quad (6)$$

$$S_{int}^{(4)} = \frac{a\sigma_0}{16} \int_x \{ \sum_{\beta, m > 0} \text{tr} I_{-m}^\beta [q, q^\dagger] \text{tr} I_m^\beta [q, q^\dagger] + 2 \sum_\beta (\text{tr} I_0^\beta [q, q^\dagger])^2 \} \quad (7)$$

$$S_0^{(4)} = \frac{\sigma_0}{32} \int_p \delta(\sum_{i=1}^4 p_i) \sum_{n_1 n_2 n_3 n_4}^{\beta\gamma\delta\mu} q_{n_1 n_2}^{\beta\gamma}(p_1) (q^\dagger)_{n_2 n_3}^{\gamma\delta}(p_2) q_{n_3 n_4}^{\delta\mu}(p_3) (q^\dagger)_{n_4 n_1}^{\mu\beta}(p_1) \\ \times \{ (p_1 + p_2)(p_3 + p_4) + (p_2 + p_3)(p_1 + p_4) - \kappa^2 z_0 (n_{12} + n_{34}) - 2h_0^2 \} \quad (8)$$

где мы обозначили  $a = \kappa^2 z_0 c_0$  и верхний индекс у  $S$  обозначает число полей  $q$ , которые содержатся в этой части действия.

Кроме этого, мы должны учесть следующие члены разложения по полям  $q$  корреляторов матричных полей  $Q$  в выражении для проводимости (6)

$$O_1^{(2)} = -\frac{\sigma_0}{2} \text{Tr} \{ I_n^\alpha q^\dagger I_{-n}^\alpha q + I_{-n}^\alpha q^\dagger I_n^\alpha q - 2(I_n^\alpha \Lambda I_{-n}^\alpha + I_{-n}^\alpha \Lambda I_n^\alpha)[q, q^\dagger] \} \quad (9)$$

$$O_1^{(3)} = \frac{\sigma_0}{4} \text{Tr} \{ I_n^\alpha (q + q^\dagger) I_{-n}^\alpha q q^\dagger - I_{-n}^\alpha (q + q^\dagger) I_n^\alpha q^\dagger q \} \quad (10)$$

$$O_1^{(4)} = \frac{\sigma_0}{16} \text{Tr} \{ (I_n^\alpha \Lambda I_{-n}^\alpha + I_{-n}^\alpha \Lambda I_n^\alpha)[q q^\dagger q, q^\dagger] - 2I_n^\alpha [q, q^\dagger] I_{-n}^\alpha [q, q^\dagger] \} \quad (11)$$

$$O_2^{(4)} = \frac{\sigma_0^2}{4d} \text{Tr} I_n^\alpha (q \nabla q^\dagger + q^\dagger \nabla q) \text{Tr} I_{-n}^\alpha (q \nabla q^\dagger + q^\dagger \nabla q) \quad (12)$$

$$O_2^{(5)} = \frac{\sigma_0^2}{8d} \{ \text{Tr} I_n^\alpha (q \nabla q^\dagger + q^\dagger \nabla q) \text{Tr} I_{-n}^\alpha q (\nabla q^\dagger) q + \text{Tr} I_{-n}^\alpha (q \nabla q^\dagger + q^\dagger \nabla q) \text{Tr} I_n^\alpha q^\dagger (\nabla q) q^\dagger \} \quad (13)$$

$$O_2^{(6)} = \frac{\sigma_0^2}{16d} \{ \text{Tr} I_n^\alpha \Lambda q^\dagger (\nabla q) q^\dagger \text{Tr} I_{-n}^\alpha \Lambda q (\nabla q^\dagger) q + \text{Tr} I_n^\alpha (q \nabla q^\dagger + q^\dagger \nabla q) \text{Tr} I_{-n}^\alpha (q q^\dagger \nabla (q q^\dagger) + q^\dagger q \nabla (q^\dagger q)) + \text{Tr} I_{-n}^\alpha (q \nabla q^\dagger + q^\dagger \nabla q) \text{Tr} I_n^\alpha (q q^\dagger \nabla (q q^\dagger) + q^\dagger q \nabla (q^\dagger q)) \} \quad (14)$$

Выражение для двухпетлевого вклада в проводимость может быть получено стандартным способом, разлагая функцию  $e^S$  в ряд и принимая во внимание диаграммы с двумя петлями (см. Таблицы). Таким образом, мы имеем

$$\sigma'_{two}(n) = \langle O_1^{(4)} + O_1^{(3)} S_{int}^{(3)} + O_1^{(2)} (S_{int}^{(4)} + S_0^{(4)} + \frac{1}{2} (S_{int}^{(3)})^2) + O_2^{(6)} + O_2^{(5)} S_{int}^{(3)} + O_2^{(4)} (S_{int}^{(4)} + S_0^{(4)} + \frac{1}{2} (S_{int}^{(3)})^2) \rangle \quad (15)$$

### С. Вычисление средних

Вычисления в (15) прямые, но утомительные. Поэтому мы представим только окончательный результат для каждого члена в выражении (15) для случая статического предела  $n = 0$

$$\langle O_1^{(4)} \rangle = \frac{2}{\sigma_0} \left( \int_p D_p(0) \right)^2 + \frac{2a^2}{\sigma_0} \left( \sum_{m>0} \int_p DD_q^c(m) \right)^2 = \frac{\Omega_d^2 h_0^{4\epsilon}}{\sigma_0 \epsilon^2} (2 + 2 \log^2 \alpha) \quad (16)$$

$$\begin{aligned} \langle O_1^{(3)} S_{int}^{(3)} \rangle &= -\frac{8a}{\sigma_0} \int_{pq} \{ \sum_{k>0} D_{p+q}^c(0) D_q(k) D_p(k) \\ &+ a \sum_{k,m>0} D_p^c(m) DD_q^c(k) D_{p+q}(k+m) \} \\ &= \frac{\Omega_d^2 h_0^{4\epsilon}}{\sigma_0 \epsilon} (4S_0 + 4A_{00}^0) \\ &= \frac{\Omega_d^2 h_0^{4\epsilon}}{\sigma_0 \epsilon^2} [ -4 - 4 \log^2 \alpha + \epsilon(8 + 4\zeta(3)) ] \end{aligned} \quad (17)$$

$$\begin{aligned} \langle O_1^{(2)} (S_{int}^{(4)} + S_0^{(4)} + \frac{1}{2} (S_{int}^{(3)})^2) \rangle &= \frac{4a}{\sigma_0} \int_{pq} \{ D_{p+q}^c(0) \sum_{k>0} D_q(k) D_p(k) \\ &+ a \sum_{k,m>0} D_p^c(m) D_q^c(k) D_{p+q}^2(k+m) \\ &+ a \sum_{k,m>0} (1 + am D_p^c(m)) DD_q^c(k) D_{p+q}^2(k+m) \} \\ &= \frac{\Omega_d^2 h_0^{4\epsilon}}{\sigma_0 \epsilon} ( -2S_0 - 2D_1 - 2T_{01} - 2A_{1,0}^0 ) \\ &= \frac{\Omega_d^2 h_0^{4\epsilon}}{\sigma_0 \epsilon^2} [ 2 + 2 \log^2 \alpha - \epsilon(4 + 2\zeta(3) + 2\pi^2/3) ] \end{aligned} \quad (18)$$

$$\begin{aligned}
\langle O_2^{(6)} \rangle &= -\frac{4}{\sigma_0 d} \int_{pq} p^2 \{ D_p(0) D_q(0) D_{p+q}(0) \\
&\quad - 4a^2 \sum_{k,m>0} D^2 D_p^c(m) \hat{S}_m D D_q^c(k) \\
&\quad - a^2 \sum_{k,m>0} [ D_p(k+m) D D_q^c(m) D D_{p+q}^c(k) \\
&\quad + 2 D D_p^c(k+m) D D_q^c(m) D_{p+q}(k) ] \} \\
&= \frac{\Omega_d^2 h_0^{4\epsilon}}{\sigma_0 \epsilon} ( S_1 + 4(\frac{2 \log \alpha}{\epsilon} + B_1) + C_{01} + 2C_{00} ) \\
&= \frac{\Omega_d^2 h_0^{4\epsilon}}{\sigma_0 \epsilon^2} [ 16 \log \alpha - 2 + \epsilon(-4 \log \alpha - \frac{\pi^2}{3} + \frac{\pi^2}{2} \log 2 + \frac{\pi^4}{12} \\
&\quad + \frac{11\zeta(3)}{2} + \frac{\pi^2}{3} \log^2 2 - \frac{1}{3} \log^4 2 - 7\zeta(3) \log 2 - 8Li_4(\frac{1}{2})) ] \tag{19}
\end{aligned}$$

где оператор  $\hat{S}_m$  действует только на частоту  $k$ , согласно правилу  $\hat{S}_m f(k) = f(k) + f(k+m)$ . Затем,

$$\begin{aligned}
\langle O_2^{(5)} S_{int}^{(3)} \rangle &= \frac{16a}{\sigma_0 d} \int_{pq} p(p-q) \sum_{k>0} D_{p+q}^c(0) D_p^2(k) D_q(k) \\
&\quad + \frac{16a^2}{\sigma_0 d} \int_{pq} p^2 \sum_{k,m>0} D_{p+q}^c(m) [ D_p^2(k+m) D D_q^c(k) \\
&\quad + D^2 D_p^c(k+m) D_q(k) ] \\
&\quad - \frac{16a^2}{\sigma_0 d} \int_{pq} (pq) \sum_{k,m>0} \{ D D_p^c(m) \hat{T}_m D D_{p+q}^c(k) D_q(k+m) \\
&\quad + D_{p+q}^c(m) D^2 D_p^c(k+m) D_q(k+2m) \} \\
&= \frac{\Omega_d^2 h_0^{4\epsilon}}{\sigma_0 \epsilon} ( -4S_{00} - 4A_{01}^1 - 4H_0 - 4C_0 - 4A_0 ) \\
&= \frac{\Omega_d^2 h_0^{4\epsilon}}{\sigma_0 \epsilon^2} [ -8 \log \alpha + 4 + \epsilon(4 \log^2 \alpha + 20 \log \alpha \\
&\quad - 12 + 4\zeta(3) + 4\pi^2/3 - 4A_0 + 4C'_0) ] \tag{20}
\end{aligned}$$

где оператор  $\hat{T}_m$  действует только на частоту  $k$  согласно следующему правилу  $\hat{T}_m f(k) = f(k) - f(k+m)$ . И наконец,

$$\begin{aligned}
\langle O_2^{(4)} S_0^{(4)} \rangle &= \frac{8a^2}{\sigma_0 d} \int_{pq} p^2 \sum_{k,m>0} \{ 3D^3 D_p^c(m) \hat{S}_m D_q^c(k) + 3D^2 D_p^c(m) \hat{S}_m D D_q^c(k) \\
&\quad + 2ak D^2 [D_p^c]^2(m) \hat{T}_m [D_p(m) D_q^c(k) + D D_q^c(k)] \} \\
&= \frac{\Omega_d^2 h_0^{4\epsilon}}{\sigma_0 \epsilon} ( -3T_{10}^0 - 3T_{11}^0 - \frac{12 \log \alpha}{\epsilon} - 6B_1 - 2T_{20}^0 \\
&\quad + 2T_{21}^0 - 4T_{10}^1 + 4B_2 ) = \frac{\Omega_d^2 h_0^{4\epsilon}}{\sigma_0 \epsilon^2} [ 4(\log \alpha - 1)^2 - 2 \\
&\quad + \epsilon(\frac{2}{\alpha} - 2 \log^2 \alpha + \log \alpha + 44/3) ] \tag{21}
\end{aligned}$$

$$\begin{aligned}
\langle O_2^{(4)}(S_{int}^{(4)} + \frac{1}{2}(S_{int}^{(3)})^2) \rangle &= \frac{16a^2}{\sigma_0 d} \int_{pq} (pq) \sum_{k>0} k D_{p+q}(0) D_p^2(k) D_q^2(k) \\
&- \frac{16a}{\sigma_0 d} \int_{pq} p^2 \sum_{k>0} [ 2ak D_{p+q}^c(0) D_p^3(k) D_q(k) - D_p^3(k) D_q(k) ] \\
&+ \frac{16a}{\sigma_0 d} \int_{pq} (pq) \sum_{k,m>0} \{ 2(1 + am D_q(k)) \\
&\times D_{p+q}^c(m) D_p^2(k+m) D D_q^c(k) \\
&- D D_q^c(k) D D_p^c(m) D_{p+q}(k+m) \} \\
&- \frac{16a^2}{\sigma_0 d} \int_{pq} p^2 \sum_{k,m>0} \{ (1 + am D_{p+q}^c(m)) \\
&\times [ (2 + \hat{T}_m + ak \hat{T}_m D_p^c(k)) D^3 D_p^c(k) D_q(k+m) \\
&+ \frac{1}{2} D_q(k) D_p^3(k+m) (3D_q^c(k) + D_p^c(k+m)) ] \\
&+ \frac{3}{2} D_q^c(m) D_{p+q}^c(k) D_p^3(k+m) \\
&+ (1 + \hat{T}_m + 2ak \hat{T}_m D_p^c(k)) D_{p+q}^c(m) D^2 D_p^c(k) D_q(k+m) \\
&+ ak \hat{T}_m D [D_p^c(m)]^2 D D_q^c(k) D_{p+q}(k+m) \} \\
&= \frac{\Omega_d^2 h_0^{4\epsilon}}{\sigma_0 \epsilon} ( 4S_{11} + 4S_{01} + \frac{2}{\epsilon} + 8A_{01} + 8A_{11} - 4C_{11} \\
&+ 4T_{02} + 4A_{10} + 2T_{12} + 2A_1 + 3T_{01} + 3A_{11}^1 + \alpha T_{10}^0 \\
&- T_{02} + H_1 + 3D_2 + 4C_1 + 8A_2 + 8A_{00} - 4A_3 ) \\
&= \frac{\Omega_d^2 h_0^{4\epsilon}}{\sigma_0 \epsilon^2} [ -4 \log^2 \alpha - 4 + \epsilon (-\frac{2}{\alpha} - 2 \log^2 \alpha \\
&- 25 \log \alpha + 55/2 - 2\zeta(3) - \frac{8}{3} \pi^2 + 12 \log^2 2 \\
&- 44 \log 2 - 4C'_0 + 4A_0 + 16G - 8Li_2(\frac{1}{2}) ] \tag{22}
\end{aligned}$$

Определения и значения всех интегралов представлены в приложении.

#### Д. Результаты вычисления

Окончательный результат для полюсных членов в  $\epsilon$ -разложении двухпетлевого вклада в статическую проводимость имеет вид

$$\sigma'_{two}(0) = \frac{16\Omega_d^2 h_0^{4\epsilon}}{\sigma_0 \epsilon} ( A - \frac{2 + \log \alpha}{2} ) \tag{23}$$

где константа  $A$  имеет вид

$$\begin{aligned}
A &= \frac{1}{16} [ 50 + \frac{1}{6} - 3\pi^2 + \frac{19}{2} \zeta(3) + 16 \log^2 2 \\
&- 44 \log 2 + \frac{\pi^2}{2} \log 2 + 16G + \frac{\pi^4}{12} + \frac{\pi^2}{3} \log^2 2 \\
&- \frac{1}{3} \log^4 2 - 7\zeta(3) \log 2 - 8Li_4(\frac{1}{2}) ] \approx 1.64 \tag{24}
\end{aligned}$$

Здесь  $G = 0.915\dots$  обозначает постоянную Каталана,  $\zeta(x)$  обозначает дзета-функцию Римана, и  $Li_4(1/2) = 0.517\dots$  связан с полилогарифмическими функциями

$$Li_n(x) = \sum_{k=1}^{\infty} \frac{x^k}{k^n} \tag{25}$$



Мы положили  $\alpha = 0$  везде, где это возможно. Необходимо подчеркнуть, что значительные сокращения членов, имеющих расходимости при  $\alpha \rightarrow 0$ , имели место при получении выражения (23), см. Таблицы. Отметим, что  $\alpha$ -зависимость двухпетлевого вклада в проводимость такая же как и для двухпетлевого вклада в "свободную энергию"<sup>9</sup> и согласуется с однопетлевой перенормировкой  $h_0^2$ , которая может быть получена стандартным образом<sup>9</sup>. Объединяя (5) и (23), получаем

$$\sigma' = \sigma_0 \left( 1 + \frac{h'^2 \epsilon t_0}{\epsilon} + A \frac{h'^4 \epsilon t_0^2}{\epsilon} \right) \quad (26)$$

где  $t_0 = 4\Omega_d/\sigma_0$ . При получении этого выражения мы воспользовались однопетлевой перенормировкой  $h_0^2$

$$h_0^2 \rightarrow h'^2 = h_0^2 \left( 1 - \frac{2 + \log \alpha}{2} \frac{h_0^2 \epsilon t_0}{\epsilon} \right) \quad (27)$$

### Е. $\beta$ - и $\gamma$ - функции

Определим параметры ренормированной теории  $t$  и  $z$ , согласно соотношениям

$$t_0 = L^{2\epsilon} t Z_1(t), \quad z_0 = L^{-2\epsilon} z Z_2(t) \quad (28)$$

где  $Z_1$  и  $Z_2$  - это ренормализационные константы<sup>7</sup>. Тогда получаем

$$\begin{aligned} Z_1 &= 1 + \frac{t}{\epsilon} + \frac{t^2}{\epsilon^2} (1 + \epsilon A) \\ Z_2 &= 1 - \frac{t}{2\epsilon} - \frac{t^2}{4\epsilon^2} \left( \frac{1}{2} + \epsilon \left( \frac{\pi^2}{6} + 2 \right) \right) \end{aligned} \quad (29)$$

где мы воспользовались полученным ранее в работе<sup>9</sup> выражением для константы  $Z_2$ . Ренормализационные  $\beta$ - и  $\gamma$ -функции находятся стандартным образом

$$\beta = \frac{dt}{d \log L} = - \frac{2\epsilon t}{1 + t \frac{d \log Z_1}{dt}} \quad (30)$$

$$\gamma = \frac{d \log z}{d \log L} = -\beta \frac{d \log Z_2}{dt} \quad (31)$$

откуда для них получаются выражения

$$\beta = -2\epsilon t + 2t^2 + 4At^3, \quad \gamma = -t - \left( \frac{\pi^2}{6} + 3 \right) t^2 \quad (32)$$

Нужно подчеркнуть существенное различие между  $\beta$ - и  $\gamma$ - функциями для задачи с кулоновским взаимодействием и для задачи о свободных электронах<sup>11</sup>. В то время как, в задаче о свободных электронах  $\beta$ -функция начинается только с члена  $t^3$ , а  $\gamma$ - функция вообще тождественно равна нулю, в случае кулоновского взаимодействия в  $\beta$ - функция появляется член  $t^2$ , а  $\gamma$ - функция приобретает зависимость от  $t$ .

## V. ДИНАМИЧЕСКИЙ СКЕЙЛИНГ

### А. Соотношение между $h'$ и $\omega_s$

Перенормировка величины  $z_0$  получается из вычисления производной "свободной энергии"  $F$  по логарифму температуры  $T$ . Результат двухпетлевых вычислений имеет вид

$$\frac{dF}{d \log T} = 2 \sum_{s>0} \omega_s z_0 M_b(t_0, h_s^2) \quad (1)$$

где

$$M_b(t_0, h_s^2) = 1 + \frac{h_s^{2\epsilon} t_0}{2\epsilon} + \frac{h_s^{4\epsilon} t_0^2}{\epsilon^2} \left( -\frac{1}{8} + \epsilon \left( \frac{1}{4} + \frac{\pi^2}{24} \right) \right) \quad (2)$$

и частота  $\omega_s = 2\pi T s$  входит через величину  $h_s^2 = \kappa^2 z_0 s$ . Зависимость перенормированной проводимости от частоты можно представить в виде

$$\sigma'(s) = \frac{4\Omega_d}{t_0} R_b(t_0, h_s^2) \quad (3)$$

$$R_b(t_0, h_s^2) = 1 + \frac{h_s^{2\epsilon} t_0}{\epsilon} + (A - 1/2) \frac{h_s^{4\epsilon} t_0^2}{\epsilon} \quad (4)$$

Можно проверить, что выражения (1)-(4) приводят к тем же самым выражениям (29) для констант  $Z_1$  и  $Z_2$ , а значит и к таким же  $\beta$ - и  $\gamma$ - функциям. Таким образом, выражения (3) - (4) определяют искомую зависимость полюсных членов перенормированной проводимости  $\sigma'$  от частоты  $\omega_s$ . Необходимо отметить, что конечные при  $\epsilon \rightarrow 0$  члены в зависимостях  $\sigma'(\omega_s)$  и  $\sigma'(h_s')$  безусловно разные, но они не представляют интереса.

Используя выражения (1) - (4), мы можем получить соотношение между  $h_s'$  и  $\omega_s$

$$h_s'^2 = h_s^2 \frac{M_b(t_0, h_s^2)}{R_b(t_0, h_s^2)} \quad (5)$$

## В. Металлическая фаза

### 1. Проводимость на переменном токе и теплоемкость

Мы можем видеть из (32), что для системы неупорядоченных взаимодействующих электронов существует переход металл-диэлектрик в размерности  $d = 2 + 2\epsilon$ . Существует критическая точка  $t_c = O(\epsilon)$ , которая отделяет металлическую фазу ( $t < t_c$ ) от диэлектрической фазы ( $t > t_c$ ). До второго порядка по  $\epsilon$  мы имеем

$$t_c = \epsilon - 2A\epsilon^2 \approx \epsilon - 3.28\epsilon^2 \quad (6)$$

Выразим теперь соотношения (1) - (4) через ренормированные величины  $t$  и  $z$ . Тогда мы можем представить результат в следующем виде

$$\begin{aligned} \frac{dF}{d \log T} &= 2 \sum_{s>0} L^{-2\epsilon} \omega_s z M(t, \omega_s z) \\ \sigma'(s) &= L^{-2\epsilon} \frac{4\Omega_d}{t} R(t, \omega_s z) \end{aligned} \quad (7)$$

где выражения теперь конечны при  $\epsilon \rightarrow 0$ . Проводимость на переменном токе получается из  $\sigma'(s)$  заменой мнимых частот  $i\omega_s$  на действительную частоту  $\omega$ . С другой стороны, теплоемкость электронного газа может быть представлена в виде<sup>9</sup>

$$c_v = \int_0^\infty d\omega \frac{\partial f}{\partial T} \omega \rho_{qp}(\omega) \quad (8)$$

где

$$f = \frac{1}{e^{\omega/T} - 1} \quad (9)$$

и плотность состояний бозонных квазичастиц равна

$$\rho_{qp}(\omega) = \frac{z}{\pi} (M(t, i\omega z) + M(t, -i\omega z)) \quad (10)$$

## 2. Скейлинговое поведение

Функции  $M$  и  $R$  могут быть записаны в скейлинговом виде с помощью метода характеристик

$$\begin{aligned} M(t, \omega_s z) &= M_0(t)g(\omega_s z \xi^d M_0(t)) \\ R(t, \omega_s z) &= R_0(t)h(\omega_s z \xi^d R_0(t)) \end{aligned} \quad (11)$$

Здесь  $g(x)$  и  $h(x)$  произвольные функции. Функции  $M_0(t) = M(t, 0)$  и  $R_0(t) = R(t, 0)$  имеют смысл  $\rho_{qp}(0)$  и проводимости на постоянном токе и удовлетворяют следующим уравнениям

$$(\beta \partial_t + \gamma)M_0(t) = 0, \quad M_0(0) = 1 \quad (12)$$

$$(\beta \partial_t - 2\epsilon - \beta/t)R_0(t) = 0, \quad R_0(0) = 1 \quad (13)$$

а  $\xi$  является корреляционной длиной и определяется из уравнения

$$(L\partial_L + \beta\partial_t)\xi = 0 \quad (14)$$

Мы можем проинтегрировать уравнения (12)-(14) около перехода металл-диэлектрик в металлической фазе ( $t < t_c$ )

$$R_0(t) = (1 - t/t_c)^{2\epsilon\nu}, \quad M_0(t) = (1 - t/t_c)^{\beta_0} \quad (15)$$

$$\xi = Lt^{1/2\epsilon}(1 - t/t_c)^{-\nu} \quad (16)$$

где критические индексы определены как

$$\nu^{-1} = \beta'(t_c), \quad \beta_0 = -\nu\gamma(t_c) \quad (17)$$

Вычисления до второго порядка по  $\epsilon$  дают следующие выражения для критических индексов

$$\nu^{-1} = 2\epsilon(1 + 2A\epsilon) \approx 2\epsilon(1 + 3.28\epsilon) \quad (18)$$

$$\beta_0 = \frac{1}{2} (1 + (\pi^2/6 + 3 - 4A)\epsilon) \approx 0.50 - 0.96\epsilon \quad (19)$$

Стоит отметить, что неупорядоченный электронный газ с кулоновским взаимодействием имеет аналогию с физикой Гейзенберговского ферромагнетика. Переход металл-диэлектрик для взаимодействующих электронов характеризуется настоящим параметром порядка, роль которого играет  $M_0$ . Тот факт, что  $\beta_0 \neq 0$  приводит к сингулярному поведению теплоемкости <sup>9</sup>.

## 3. Уравнения состояния

Наконец, мы можем определить поведение величин  $M$  и  $R$  во всей металлической фазе. До второго порядка по  $\epsilon$  они подчиняются следующим "уравнениям состояния"<sup>12</sup>

$$\begin{aligned} \frac{\omega_s z t}{M^\delta} &= \left(\frac{t_c}{t}\right)^{1/\epsilon} \left(1 + (2\epsilon\nu - 1)\left(1 - \frac{t}{t_c}\right) - 2\epsilon\nu \frac{1 - t/t_c}{M^{1/\beta_0}}\right)^{1/\epsilon} \\ \frac{\omega_s z t}{R^\kappa} &= \left(\frac{t_c}{t}\right)^{1/\epsilon} \left(1 - \frac{1 - t/t_c}{R^{1/2\epsilon\nu}}\right)^{1/\epsilon} \end{aligned} \quad (20)$$

Для критических индексов  $\delta$  и  $\kappa$ , определяющих поведение в критической точке, мы получаем

$$\delta^{-1} = \frac{\epsilon}{2} (1 - (2A - \pi^2/6 - 5/2)\epsilon) \approx \frac{\epsilon}{2} (1 + 0.86\epsilon) \quad (21)$$

$$\kappa^{-1} = \epsilon(1 - \epsilon/2) \quad (22)$$

Нужно указать, что критические индексы удовлетворяют соотношениям

$$d\nu = \beta_0(\delta + 1), \quad 2\epsilon\nu\kappa = \beta_0\delta \quad (23)$$

Из "уравнений состояния"(20) мы можем найти поведение в точке перехода металл-диэлектрик

$$M(t_c, \omega_s z) = (\omega_s z t_c)^{1/\delta}, \quad R(t_c, \omega_s z) = (\omega_s z t_c)^{1/\kappa} \quad (24)$$

Из анализа размерностей и скейлинговых соотношений, можно получить зависимость проводимости в металлической фазе от частоты  $\omega$  и температуры  $T$  в критической области

$$\sigma \sim [\max(\omega, T)]^{1/\kappa} \quad (25)$$

а также зависимость теплоемкости в металлической фазе от температуры в критической области<sup>9</sup>

$$c_v \sim T^{1+1/\delta} \quad (26)$$

Отметим, что "уравнения состояния"(20)-(20) не могут быть аналитически продолжены в область  $t > t_c$  и использованы для получения информации о диэлектрической фазе. Она определяется другими операторами в теории и имеет другие температурную и частотную зависимости величин.

Подчеркнем, что наши результаты для перехода металл-диэлектрик справедливы только в размерности  $2+2\epsilon$ . Однако, существует большое желание положить  $2\epsilon = 1$ , как это обычно делается, чтобы оказаться в физически интересной размерности  $d = 3$ . В теории, которая учитывает кулоновское взаимодействие, мы имеем обычное Вигнеровское скейлинговое поведение<sup>13</sup> для проводимости с индексом  $s = 2\epsilon\nu$  и равным  $s = 1$  в  $d = 2$ . Однако, про размерность  $d = 3$  сказать ничего нельзя, т.к. численные коэффициенты в  $\epsilon$  разложении для индекса проводимости не являются численно малыми как это иногда случается. Если вычислить индекс проводимости из выражения (19) для размерности  $d = 3$ , получится значение  $s \approx 0.38$ , которое нарушает ограничение<sup>14</sup>  $s \geq 2(d-2)/d$ , подразумевающее, что  $s \geq 2/3$  в размерности  $d = 3$ .

#### 4. Уравнения ренорм-группы в $d = 2$

Теперь мы рассмотрим случай физически интересной размерности  $d = 2$ <sup>7</sup>. Уравнения ренорм-группы имеют вид

$$\frac{dt}{d \log L} = 2t^2 + 4At^3, \quad \frac{d \log z}{d \log L} = -t - \left(\frac{\pi^2}{6} + 3\right)t^2 \quad (27)$$

и описывают систему полностью спин-поляризованных неупорядоченных электронов с кулоновским взаимодействием. Как и должно быть в размерности  $d = 2$  переход металл-диэлектрик отсутствует. Уравнения (27) могут быть решены и результат имеет вид

$$\log \frac{L}{L_0} = \frac{\pi}{2} \left( \sigma_0 - \sigma + g \log \frac{\sigma_0 + g}{\sigma + g} \right) \quad (28)$$

$$\frac{z}{z_0} = \left( \frac{\sigma}{\sigma_0} \right)^{(1+2a)/2} \left( \frac{\sigma + g}{\sigma_0 + g} \right)^{-a} \quad (29)$$

где константы  $g = 2A/\pi \approx 1.04$ ,  $a = \frac{\pi^2/6+3-2A}{4A} \approx 0.21$  и  $L(\sigma_0) = L_0$ ,  $z(\sigma_0) = z_0$  начальные условия.

Заметим, что зависимость в выражении (28) в случае  $g = 0$ , т.е., однопетлевого результата, совпадает с хорошо известным результатом Аронова-Альтшулера<sup>15</sup>. Можно получить следующую зависимость поправки к проводимости около начальной точки  $\sigma_0$  из выражения (28)

$$\delta\sigma = \frac{1}{\pi} \left( 1 + \frac{g}{\sigma_0} \right) \log T\tau \quad (30)$$

где мы воспользовались тем, что  $[T] = L^{-2}$ . Двухпетлевая поправка мала для больших  $\sigma_0 \gg g$ . Однако, для малых  $\sigma_0 \sim g$ , двухпетлевая поправка существенна.

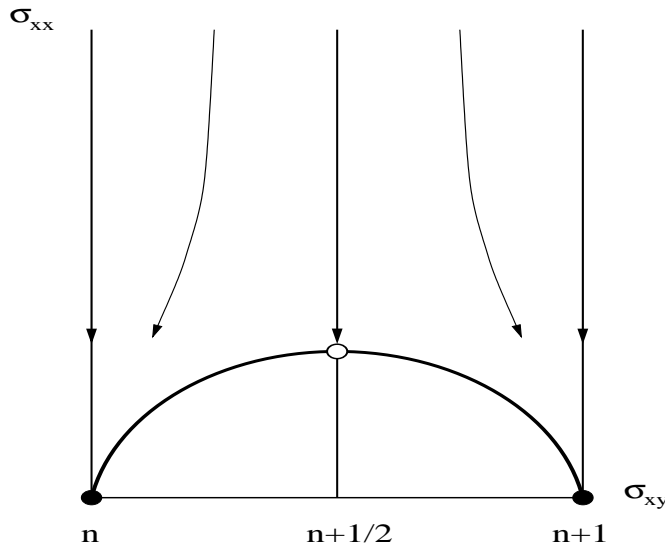


Рис. 1: Диаграмма ренормализационной группы для проводимости. Стрелочки указывают движение в сторону больших длин.

### С. Переходы между плато в режиме квантового эффекта Холла

В этом разделе мы кратко коснемся вопроса о том, как результаты этой работы могут быть применены для описания переходов между плато в режиме квантового эффекта Холла. Для электронов, находящихся в сильном магнитном поле, эффективное действие будет иметь вид

$$S[Q, A] \rightarrow S[Q, A] + \frac{\sigma_{xy}^0}{8} \varepsilon_{ab} \text{Tr} Q [D_a, Q] [D_b, Q] \quad (31)$$

где  $\sigma_{xy}^0$  - это безразмерная холловская проводимость в приближении самосогласованного поля.

В дополнение к пертурбативному вкладу от топологически тривиального сектора теории, который мы обсуждали выше, существуют непертурбативные поправки от топологически нетривиальных секторов теории (инстантоны), которые ответственны за квантовый эффект Холла<sup>16</sup>. Результаты для случая кулоновского взаимодействия<sup>8</sup> имеют ту же структуру, что и для теории свободных электронов<sup>16</sup>. Уравнения ренорм-группы в случае квантового эффекта Холла могут быть записаны в виде

$$\begin{aligned} \frac{d\sigma_{xx}}{d \log L} &= \beta_{xx}(\sigma_{xx}, \sigma_{xy}) \\ \frac{d\sigma_{xy}}{d \log L} &= \beta_{xy}(\sigma_{xx}, \sigma_{xy}) \\ \frac{d \log z}{d \log L} &= \gamma(\sigma_{xx}, \sigma_{xy}) \end{aligned} \quad (32)$$

Наиболее физически интересна область  $\sigma_{xx} \sim 1$ , где происходит переход от режима слабой локализации к режиму квантового эффекта Холла (рис. 1).

Уравнения ренорм-группы указывают (рис. 1), что холловская проводимость не перенормируется на линиях  $\sigma_{xy} = \{n, n + 1/2\}$ , где  $n$  целое. Фиксированные точки  $(\sigma_{xx}, \sigma_{xy}) = (0, n)$  соответствуют режиму сильной связи и не будут здесь обсуждаться<sup>4</sup>. Фиксированные точки  $(\sigma_{xx}, \sigma_{xy}) = (\sigma_{xx}^*, n + 1/2)$  могут быть описаны в приближении слабой связи. В работе<sup>8</sup> были вычислены вклады в  $\beta$ - и  $\gamma$ - функции: пертурбативный на уровне одной петли, и непертурбативный от инстантонных конфигураций с топологическим зарядом  $|q| = 1$  и гауссовых флуктуаций на их фоне (это соответствует приближению разряженного инстантонного газа). Если проанализировать уравнения ренорм-группы в этом приближении, то можно найти нуль  $\beta_{xx}$ - функции<sup>8</sup> равный  $\sigma_{xx}^* \sim 1$ , отвечающий переходу между холловскими плато. Учет двухпетлевого вклада в пертурбативную часть приводит к исчезновению нуля  $\beta_{xx}$ - функции и возникает необходимость вычисления инстантонных поправок в следующих порядках. Вычисление следующих инстантонных поправок и следующих членов петлевого разложения в топологически тривиальном секторе теории для  $\beta$ - и  $\gamma$ - функций остается задачей на будущее,

решение которой по-видимому не возможно аналитически, но вероятно может быть осуществлено численными методами и может быть позволит получить более хорошее согласие между теорией и экспериментом в значениях для критических индексов для перехода между холловскими плато.

## VI. ЗАКЛЮЧЕНИЕ

В этой работе мы представили результаты анализа линейного отклика на основе метода ренорм-группы в рамках двухпетлевого приближения в режиме слабой связи ( $\sigma_{xx}^{-1} \ll 1$ ). Мы аналитически вычислили двухпетлевой вклад в проводимость  $\sigma_{xx}$  и окончательно установили перенормируемость эффективной теории, описывающей двумерный спин-поляризованный электронный газ с кулоновским взаимодействием, находящийся в случайном потенциале и слабом магнитном поле.

Мы получили выражение для двухпетлевой  $\beta$ - функции и исследовали скейлинговое поведение системы в окрестности перехода металл-диэлектрик со стороны металлической фазы для пространства размерности  $d = 2 + 2\epsilon$ . Благодаря наличию кулоновского взаимодействия, поведение системы в критической области оказывается иным, чем для системы электронов без взаимодействия или с короткодействующим взаимодействием. В работе были вычислены во втором порядке по  $\epsilon$  критические индексы, описывающие переход металл-диэлектрик.

Двухпетлевые выражения для  $\beta$ - и  $\gamma$ - функций, вычисленные в этой работе, оказываются частью  $\beta$ - и  $\gamma$ - функций для режима квантового эффекта Холла, соответствующей вкладу от топологически тривиального сектора теории. По-видимому, дальнейшие вычисления как следующих членов петлевого разложения, так и следующих инстантонных вкладов, в ренорм-групповые функции могут быть произведены только с помощью численных методов.

## VII. ПРИЛОЖЕНИЕ А

В этом приложении мы представим окончательное выражение для интегралов в (16)-(22). Пример типичного вычисления будет дан в следующем приложении. Результаты приведены только для членов  $\epsilon^{-1}$  и  $\epsilon^0$ , и мы берем предел  $\alpha \rightarrow 0$  везде, где это возможно.

### А. А - интегралы

Ниже мы определим интегралы, которые содержат одно дополнительное интегрирование по фейнманновским переменным. Все из них получаются из выражений, содержащих функции Грина с суммированием по импульсам и частотам.

Во-первых, определим интегралы, зависящие от трех индексов,

$$A_{\mu\eta}^{\nu} = \int_{\alpha}^1 dz \int_{\square} \frac{x_2 x_3^{1+\mu} (x_1 + x_2)^{\nu} (x_i x_j)^{-1-\nu-\epsilon}}{(z x_2 + x_3)(\alpha x_1 + x_3)^{1+\mu}} \quad (1)$$

затем интегралы, зависящие от двух индексов,

$$A_{\nu\mu} = \int_{\alpha}^1 dz (z - \alpha)^{1+\nu-\mu} \int_{\square} \frac{x_1^{\mu} x_2^{2+\nu-\mu} x_3^{\mu} (x_1 + x_3)^{1-\mu} (x_i x_j)^{-2-\epsilon}}{(\alpha x_1 + x_3)^{1+\nu} (z x_2 + x_3)} \quad (2)$$

и, наконец, четыре интеграла, зависящие от одного индекса,

$$A_0 = \int_{\alpha}^1 dz (z - \alpha) \int_{\square} \frac{x_2^2 x_1 (x_i x_j)^{-2-\epsilon}}{(x_3 + z x_2)(z x_2 + \alpha x_1 + 2 x_3)} \quad (3)$$

$$A_1 = \int_{\alpha}^1 dz (z - \alpha)^2 \int_{\square} \frac{x_2^3 (x_1 + x_3)(x_2 + x_3)}{(z x_2 + x_3)^2} \times (x_i x_j)^{-2-\epsilon} \left( \frac{1}{(\alpha x_1 + x_3)^2} - \frac{1}{(z x_2 + \alpha x_1 + 2 x_3)^2} \right) \quad (4)$$

$$A_2 = \int_{\alpha}^1 dz (z - \alpha)(1 - z) \int_{\square} \frac{x_2^3(x_1 + x_3)(x_i x_j)^{-2-\epsilon}}{(zx_2 + x_3)(\alpha x_1 + x_3)(zx_2 + \alpha x_1 + 2x_3)} \quad (5)$$

$$A_3 = \int_{\alpha}^1 dz (z - \alpha) \int_{\square} \frac{x_2^2(x_1 + x_3)(x_i x_j)^{-2-\epsilon}}{(\alpha x_1 + zx_2 + 2x_3)(zx_2 + x_3)} \quad (6)$$

Здесь и ниже мы будем использовать следующие обозначения

$$\int_{\square} := \int_0^1 dx_1 \int_0^1 dx_2 \int_0^1 dx_3 \delta(x_1 + x_2 + x_3 - 1)$$

$$x_i x_j := x_1 x_2 + x_2 x_3 + x_3 x_1 \quad (7)$$

Вычисление интегралов прямое, но утомительное. Поэтому мы представим только окончательные результаты вычислений

$$\begin{aligned} A_{00}^0 &= -\frac{\log^2 \alpha}{\epsilon} + \zeta(3) \\ A_{10}^0 &= -\frac{\log^2 \alpha + \log \alpha}{\epsilon} - \frac{\log^2 \alpha}{2} + \frac{\pi^2}{6} + \zeta(3) \\ A_{01}^1 &= \frac{\log \alpha}{\epsilon} - \frac{\log^2 \alpha}{2} - 2 \log \alpha - \frac{\pi^2}{3} + 1 \\ A_{11}^1 &= \frac{\log \alpha}{\epsilon} - \frac{\log^2 \alpha}{2} - 2 \log \alpha - \frac{\pi^2}{3} \\ A_{00} &= \frac{\log \alpha}{\epsilon} + \frac{\log^2 \alpha}{2} + 2 \log \alpha + \frac{\pi^2}{3} - 1 \\ A_{10} &= -\frac{1}{\alpha} - \frac{2 \log \alpha + 3}{\epsilon} - \log^2 \alpha - 5 \log \alpha - \frac{2\pi^2}{3} + 3 \\ A_{01} &= -\log \alpha - \frac{\pi^2}{6} + 1 \\ A_{11} &= \frac{\log \alpha + 2}{\epsilon} + \frac{\log^2 \alpha}{2} + 3 \log \alpha + \frac{\pi^2}{2} \end{aligned} \quad (8)$$

Интеграл  $A_0$  можно не вычислять, т.к. он полностью сокращается в окончательном результате. Затем,

$$\begin{aligned} A_1 &= -\frac{2}{\alpha} + \frac{2 \log^2 \alpha + 4 \log \alpha}{\epsilon} - 3 \log^2 \alpha \\ &+ 8 \log 2 \log \alpha - \frac{17}{2} \log \alpha + 4K_1(\alpha) + 8J_3'(\alpha) \\ &- \pi^2 - 2\zeta(3) - 6 \log^2 2 + 10 \log 2 - \frac{1}{2} \end{aligned} \quad (9)$$

где мы использовали следующие обозначения для интегралов

$$\begin{aligned} K_1(\alpha) &= \int_{\alpha}^1 dz \int_{\square} \frac{x_2(x_1(x_2 + x_3) + x_3^2)(x_i x_j)^{-2-\epsilon}}{(zx_2 + x_3)(\alpha x_1 + zx_2 + 2x_3)} \\ J_3'(\alpha) &= \alpha \int_{\alpha}^1 \frac{dz}{z} \int_{\square} \frac{x_2(x_1(x_2 + x_3) + x_3^2)(x_i x_j)^{-2-\epsilon}}{(\alpha x_1 + zx_2 + 2x_3)^2} \end{aligned} \quad (10)$$

Отметим, что нам не нужно вычислять интегралы  $K_1(\alpha)$  и  $J_3'(\alpha)$ , т.к. они полностью сокращаются в окончательном ответе.

$$\begin{aligned}
A_2 &= -\frac{\log^2 \alpha + 2 \log \alpha}{\epsilon} - 2 \log \alpha - 3 \log 2 \log \alpha \\
&- J_1(\alpha) - K_1(\alpha) - 2J_3'(\alpha) + A_0 - \frac{\pi^2}{6} \\
&+ 1 + \zeta(3) + 3 \log^2 2 - 3 \log 2 - 3Li_2(1/2)
\end{aligned} \tag{11}$$

где

$$J_1(\alpha) = \int_{\alpha}^1 dz \int_{\square} \frac{x_1(x_1 + x_3)(x_2 + x_3)(x_i x_j)^{-2-\epsilon}}{(zx_1 + x_3)(zx_1 + \alpha x_2 + 2x_3)} \tag{12}$$

и наконец

$$A_3 = A_0 - 2Li_2\left(\frac{1}{2}\right) + \frac{\pi^2}{6} \tag{13}$$

### В. В - интегралы

Ниже мы определим интегралы, которые не содержат дополнительных интегрирований по фейманновским переменным. Все из них получаются из выражений, содержащих функции Грина с суммированием только по частотам.

Мы определим интегралы, зависящий от одного индекса,

$$B_{\mu} = \int_{\alpha}^1 \frac{dz}{z^{\mu}} \int_{\square} \frac{x_1^{\mu-1} x_2 x_3^{-\mu-\epsilon} (x_1 + x_2)^{-\mu-\epsilon}}{(\alpha x_2 + zx_3 + x_1)} \tag{14}$$

Вычисляя интегралы, получаем

$$\begin{aligned}
B_1 &= \frac{\log \alpha}{\epsilon} + \frac{\log^2 \alpha}{2} + \log \alpha \\
B_2 &= -\frac{1}{\alpha} + \frac{\log^2 \alpha}{\epsilon} + \frac{2 \log \alpha}{\epsilon} - 2 \log \alpha - 2
\end{aligned} \tag{15}$$

### С. С - интегралы

Ниже мы определим интегралы, которые содержат два дополнительных интегрирования по фейманновским переменным. Все из них получаются из выражений, содержащих функции Грина с суммированием по импульсам и частотам.

Мы определим интегралы, зависящие от двух индексов,

$$C_{\mu\nu} = \int_{\alpha}^1 dz \int_{\alpha}^1 dy \int_{\square} \frac{x_1^{\mu} x_2 x_3 (x_2 + x_3)^{1-\mu} (x_i x_j)^{-2-\epsilon}}{(zx_3 + x_1)(yx_2 + x_1)^{\nu} (zx_3 + yx_2)^{1-\nu}} \tag{16}$$

и интегралы, зависящие от одного индекса,

$$C_{\nu} = \int_{\alpha}^1 dz (1-z)^{\nu} \int_{\alpha}^1 dy \int_{\square} \frac{x_2^{2-\nu} x_3^{1+\nu} (x_1 + x_2)^{\nu} (x_i x_j)^{-2-\epsilon}}{(zx_3 + x_1)(yx_2 + x_1)^{\nu} (zx_3 + yx_2 + 2x_1)} \tag{17}$$



Вычисление интегралов прямое, но утомительное

$$\begin{aligned}
C_{00} &= \frac{\log \alpha}{\epsilon} - \frac{\log^2 \alpha}{2} - 2 \log \alpha + \frac{\pi^2}{4} \log 2 - \frac{\pi^2}{6} + \frac{15}{4} \zeta(3) \\
&\quad - \frac{\pi^4}{24} - \frac{\pi^2}{6} \log^2 2 + \frac{1}{6} \log^4 2 + \frac{7}{2} \zeta(3) \log 2 + 4Li_4\left(\frac{1}{2}\right) \\
C_{01} &= \frac{2 \log \alpha}{\epsilon} - \log^2 \alpha - 4 \log \alpha - 2 - \zeta(3) \\
C_{11} &= \zeta(3) \\
C_0 &= \frac{\log \alpha}{\epsilon} - \frac{\log^2 \alpha}{2} - 2 \log \alpha - 1 - \zeta(3) - C'_0 \\
C_1 &= 4 \log 2 \log \alpha + 2J_1(\alpha) - C'_0 - 2 - \frac{\zeta(3)}{2} - 4 \log 2 - \frac{\pi^2}{6} + 4G
\end{aligned} \tag{18}$$

где

$$C'_0 = \int_{\alpha}^1 dz \int_{\alpha}^1 dy \int_{\square} \frac{x_1 x_2^2 (x_i x_j)^{-2-\epsilon}}{(x_3 + yx_2)(zx_1 + yx_2 + 2x_3)} \tag{19}$$

и  $G = 0.915\dots$  постоянная Каталана.

#### Д. Д - интегралы

Ниже мы определим интегралы, которые не содержат дополнительных интегрирований по фейманновским переменным. Все из них получаются из выражений, содержащих функции Грина с суммированием по импульсам и частотам.

Определим интегралы, зависящие от одного индекса,

$$D_{\nu} = \int_{\square} \frac{x_3^{\nu} (x_1 + x_2)^{\nu-1} (x_i x_j)^{-\nu-\epsilon}}{(\alpha x_1 + x_3)(\alpha x_2 + x_3)} \tag{20}$$

Вычисляя интегралы, находим

$$\begin{aligned}
D_1 &= -\log^2 \alpha - \frac{\pi^2}{6} \\
D_2 &= -2 \log \alpha
\end{aligned} \tag{21}$$

#### Е. Н - интегралы

Ниже мы определим интегралы, которые содержат одно дополнительное интегрирование по фейманновским переменным. Все из них получаются из выражений, содержащих функции Грина с суммированием по импульсам и частотам.

Определим интегралы, зависящие от одного индекса,

$$H_{\nu} = \int_{\alpha}^1 dz (z - \alpha)^{2\nu} \int_{\square} \frac{x_2^{2+\nu} (x_1 + x_3) (x_i x_j)^{-2-\epsilon}}{(\alpha x_1 + zx_2)(zx_2 + x_3)} \tag{22}$$

Соответственно находим

$$\begin{aligned}
H_0 &= -\log \alpha + 1 \\
H_1 &= -\log \alpha
\end{aligned} \tag{23}$$

### Ф. S - интегралы

Ниже мы определим интегралы, которые не содержат дополнительных интегрирований по фейманновским переменным и не содержат  $\alpha$ . Все из них получаются из выражений, содержащих функции Грина с суммированием по импульсам и частотам.

Определим интегралы, зависящие от двух индексов,

$$S_{\mu\nu} = \int \square \frac{x_1^\mu x_2^{1+\nu-\mu} ((2-\nu-\mu)x_1 + x_3)(x_i x_j)^{-2-\epsilon}}{(x_2 + x_3)^{1+\nu}} \quad (24)$$

и интегралы, зависящие от одного индекса,

$$S_\nu = \int \square (x_1 + x_2)^{-1+2\nu} (x_i x_j)^{-1-\nu-\epsilon} \quad (25)$$

После вычислений, получаем

$$\begin{aligned} S_{00} &= -\frac{1}{\epsilon} + 2 \\ S_{01} &= -\frac{1}{3\epsilon} + \frac{8}{9} \\ S_{11} &= -\frac{1}{6\epsilon} + \frac{1}{9} \\ S_0 &= -\frac{1}{\epsilon} + 2 \\ S_1 &= -\frac{2}{\epsilon} + 2 \end{aligned} \quad (26)$$

### Г. T - интегралы

Ниже мы определим интегралы, которые не содержат дополнительных интегрирований по фейманновским переменным. Все из них получаются из выражений, содержащих функции Грина с суммированием только по частотам.

Определим интегралы, зависящие от трех индексов,

$$T_{\mu\nu}^\eta = \frac{(1-\alpha)^\eta}{\alpha^\mu} \int \square \frac{x_1^{2-\eta} x_2^{\mu+\eta-1} x_3^{-1-\mu-\epsilon} (x_1 + x_2)^{-2-\epsilon}}{(\alpha x_2 + \nu \alpha x_3 + x_1)} \quad (27)$$

и от двух индексов,

$$T_{\mu\nu} = \int \square \frac{x_1^{2\nu-2} (x_1 + x_2)^{-\nu-\epsilon} (x_1 + x_3 + (\alpha + \mu)x_2)}{x_3^{\nu+\epsilon} (\alpha x_2 + (1 + \mu)x_3 + x_1)(x_1 + x_3 + \alpha x_2)} \quad (28)$$

После вычислений, находим

$$\begin{aligned}
T_{10}^0 &= -\frac{1}{\alpha} + 1 \\
T_{11}^0 &= -\frac{1}{\alpha} + \frac{1}{\epsilon} + \log \alpha + 1 \\
T_{20}^0 &= \frac{1}{6\alpha^2} - \frac{1}{3\alpha} - \log \alpha - \frac{11}{12} \\
T_{21}^0 &= \frac{1}{6\alpha^2} + \frac{2}{3\alpha} + \frac{\log \alpha + 5/2}{\epsilon} + \frac{\log^2 \alpha}{2} + 4 \log \alpha + \frac{17}{12} \\
T_{10}^1 &= -\frac{1}{\alpha} - 2 \log \alpha - 2 \\
T_{01} &= \frac{\log \alpha}{\epsilon} - \frac{\log^2 \alpha}{2} \\
T_{02} &= \frac{1}{\epsilon} \\
T_{12} &= -\frac{3 \log \alpha + 11/2}{\epsilon} + \frac{3 \log^2 \alpha}{2} + \frac{9 \log \alpha}{2} \\
&\quad - 4 \log 2 \log \alpha + \frac{\pi^2}{6} - 4Li_2\left(\frac{1}{2}\right) - 12 \log 2 + \frac{27}{4}
\end{aligned} \tag{29}$$

### VIII. ПРИЛОЖЕНИЕ В

В этом разделе мы представим вычисление интеграла  $A_{10}$ , как пример обычных вычислений. Мы начнем с интеграла

$$-\frac{32a^3}{\sigma_0 d} \int_{pq} p^2 \sum_{k,m>0} m D_{p+q}^c(m) D^3 D_p^c(k) D_q(k+m) \tag{1}$$

Используя фейнмановский трюк, можно написать

$$\begin{aligned}
&-\frac{16a^3}{\sigma_0 d} \int_{pq} p^2 \int_0^\infty dm m \int_0^\infty dk \int_\alpha^1 dz (z-\alpha)^2 \int \square \Gamma(6) \\
&[h_0^2 + q^2 x_{13} + p^2 x_{12} + 2 p q x_1 + am(\alpha x_1 + x_3) + ak(zx_2 + x_3)]^{-6}
\end{aligned} \tag{2}$$

где  $x_{ij} = x_i + x_j$ . Сдвигая  $q \rightarrow q - px_1/x_{13}$ , мы можем расцепить  $p$  и  $q$  в знаменателе. Тогда мы можем выполнить интегрирование по  $k, m, p$  и  $q$ , получая

$$\frac{4\Omega_d^2 h_0^{4\epsilon}}{\sigma_0 \epsilon} A_{10} \tag{3}$$

где

$$A_{10} = \int_\alpha^1 dz (z-\alpha)^2 \int \square \frac{x_2^3(x_1+x_3)(x_i x_j)^{-2-\epsilon}}{(zx_2+x_3)(\alpha x_1+x_3)^2} \tag{4}$$

Теперь мы разделим интеграл на четыре части

$$\begin{aligned}
A_{10} &= \int_\alpha^1 \frac{dz(z-\alpha)^2}{z} \int \square \frac{x_2(x_1+x_3)(x_i x_j)^{-1-\epsilon}}{(\alpha x_1+x_3)^2} \\
&\times \left\{ 1 - x_1 x_3 (x_i x_j)^{-1} - \frac{x_3(x_1+x_3)(x_i x_j)^{-1}}{z} + \frac{x_3^2(x_1+x_3)(x_i x_j)^{-1}}{z(zx_2+x_3)} \right\} \\
&= I_0 - I_1 - I_2 + I_3
\end{aligned} \tag{5}$$

Мы можем точно вычислить первые три интеграла по  $z$  и получить  $\epsilon = 0$  в четвертом интеграле. Вводя новые переменные  $s \in [0, \infty]$  и  $u \in [0, 1]$

$$x_1 = \frac{u}{s+1}, \quad x_2 = \frac{s}{s+1}, \quad x_3 = \frac{1-u}{s+1} \quad (6)$$

мы получаем

$$\begin{aligned} I_0 &= \left(\frac{1}{2} - 2\alpha\right) \int_0^1 \frac{du}{(\alpha u + 1 - u)^2} \int_0^\infty ds \frac{s(s+1)^{2\epsilon}}{(s+u(1-u))^{1+\epsilon}} \\ I_1 &= \frac{1}{2} \int_0^1 du \frac{u(1-u)}{(\alpha u + 1 - u)^2} \int_0^\infty ds \frac{s(s+1)^{2\epsilon}}{(s+u(1-u))^{2+\epsilon}} \\ I_2 &= \int_0^1 du \frac{(1-u)}{(\alpha u + 1 - u)^2} \int_0^\infty ds \frac{s(s+1)^{2\epsilon}}{(s+u(1-u))^{2+\epsilon}} \\ I_3 &= \int_\alpha^1 dz \left(\frac{z-\alpha}{z}\right)^2 \int_0^1 du \frac{u(1-u)^2}{(\alpha u + 1 - u)^2} \int_0^\infty ds \frac{(s+1-u)}{(s+u(1-u))^2(\alpha s + 1 - u)^2} \end{aligned} \quad (7)$$

Мы использовали подстановку в  $I_3$ , для которой  $x_1 \rightarrow x_2$  и обратно. Используя известное интегральное представление для гипергеометрических функций, интегрирования по  $s$  могут быть выполнены и (7) могут быть записаны в виде

$$\begin{aligned} I_0 &= \left(\frac{1}{2} - 2\alpha\right) \int_0^1 du \frac{[u(1-u)]^{1-\epsilon}}{(\alpha u + 1 - u)^2} \left[ -\frac{1}{1+\epsilon} G_0(u(1-u)) + \frac{1}{\epsilon} G_1(u(1-u)) \right] \\ I_1 &= \frac{1}{2} \int_0^1 du \frac{[u(1-u)]^{1-\epsilon}}{(\alpha u + 1 - u)^2} \left[ -\frac{1}{\epsilon} G_1(u(1-u)) - \frac{1}{1-\epsilon} G_2(u(1-u)) \right] \\ I_2 &= \int_0^1 du \frac{u^{-\epsilon}(1-u)^{1-\epsilon}}{(\alpha u + 1 - u)^2} \left[ -\frac{1}{\epsilon} G_1(u(1-u)) - \frac{1}{1-\epsilon} G_2(u(1-u)) \right] \\ I_3 &= \int_\alpha^1 dz \left(\frac{z-\alpha}{z}\right)^2 \int_0^1 du \frac{u}{zu + 1 - u} \left[ \frac{1}{2} H_3(1-\alpha u) + \frac{(1-u)}{3u} H_4(1-\alpha u) \right] \end{aligned} \quad (8)$$

где  $G$  и  $H$  представляют собой гипергеометрические функции  ${}_2F_1$ . Делая  $\epsilon$ -разложение и используя следующие асимптотические выражения для гипергеометрических  ${}_2F_1$  функций, получаемые прямо из их определения

$$\begin{aligned} {}_2F_1(1, -2\epsilon, -\epsilon; z) &= G_0(1-z) = \frac{1+z}{1-z} \\ {}_2F_1(1, -2\epsilon, 1-\epsilon; z) &= G_1(1-z) = 1 + 2\epsilon \log(1-z) \\ {}_2F_1(1, -2\epsilon, 2-\epsilon; z) &= G_2(1-z) = 1 \\ {}_2F_1(1, 2, 3; z) = H_3(z) &= -\frac{2}{z^2} (\log(1-z) + z) \\ {}_2F_1(1, 2, 4; z) = H_4(z) &= \frac{6}{z^3} ((1-z) \log(1-z) + z - z^2/2) \end{aligned} \quad (9)$$

получаем

$$\begin{aligned}
 I_0 &= -\frac{1}{\alpha} - \frac{\log \alpha + 2}{\epsilon} - \frac{\log^2 \alpha}{2} - 2 \log \alpha - \frac{\pi^2}{3} \\
 I_1 &= \frac{\log \alpha + 2}{\epsilon} + \frac{\log^2 \alpha}{2} + 2 \log \alpha + \frac{\pi^2}{3} \\
 I_2 &= \frac{\log \alpha + 1}{\epsilon} + \frac{\log^2 \alpha}{2} + 2 \log \alpha + \frac{\pi^2}{3} + 1 \\
 I_3 &= -\log \alpha
 \end{aligned} \tag{10}$$

После суммирования интегралов, приходим к окончательному результату

$$A_{10} = -\frac{1}{\alpha} - \frac{2 \log \alpha + 3}{\epsilon} - \log^2 \alpha - 5 \log \alpha - \frac{2\pi^2}{3} + 3$$

<sup>1</sup> A.M.M. Pruisken, M.A. Baranov and B. Škorić, Phys. Rev. B **60**, 16807 (1999)

<sup>2</sup> B.I. Halperin, P.A. Lee and N. Read, Phys. Rev. B **47**, 7312 (1993)

<sup>3</sup> J.K. Jain Phys. Rev. Lett. **63**, 199 (1989); Phys. Rev. B **40**, 8079 (1989)

<sup>4</sup> A.M.M. Pruisken, M.A. Baranov and B. Škorić, Phys. Rev. B **60**, 16838 (1999)

<sup>5</sup> А.М. Финкельштейн, ЖЭТФ **84**, 168 (1983); ЖЭТФ **86**, 367 (1984)

<sup>6</sup> P. Streda, J. Phys. C **15**, L717 (1982)

<sup>7</sup> *The Quantum Hall Effect*, edited by R.E. Prange and S.M. Girvin ( Springer-Verlag, Berlin, 1987 ), chapter 5

<sup>8</sup> A.M.M. Pruisken and M.A. Baranov, Europhys. Lett., **31**, 543 (1995)

<sup>9</sup> A.M.M. Pruisken, M.A. Baranov and B. Škorić, Phys. Rev. B **60**, 16821 (1999)

<sup>10</sup> T.R. Kirkpatrick and D. Belitz, Phys. Rev. B **41**, 11082 (1990)

<sup>11</sup> E. Brézin, S. Hikami and J. Zinn-Justin, Nucl. Phys. B **165**, 528 (1980)

<sup>12</sup> A.M.M. Pruisken and Z. Wang, Nucl. Phys. B **322**, 721 (1989)

<sup>13</sup> F. Wegner, Z. Phys. B **25**, 327 (1976)

<sup>14</sup> J. Chayes, L.Chayes, D.S. Fisher and T. Spencer, Phys. Rev. Lett. **57**, 2999 (1986)

<sup>15</sup> B.L. Altshuler and A.G. Aronov, Zh. Eksp. Teor. Fiz., **77**, 2028 (1979)

<sup>16</sup> A.M.M. Pruisken, Nucl. Phys. B **285**, 719 (1987), **290**, 61 (1987)

отметим, что это условие и условие (VII E) могут быть выполнены одновременно, т.к. они имеют вид  $1/(\epsilon_F \tau) \ll \omega_c \tau \ll 1$ .

Мы подразумеваем, что площадь электронного газа равна единице.

Здесь "свободная энергия" означает логарифм статистической суммы.

Возникновение множителя  $L^{-2\epsilon}$  в формуле для  $z$  связано с тем, что в  $d = 2 + 2\epsilon$  измерениях температура имеет размерность  $[L^{-2-2\epsilon}]$ , а в ренормированной теории мы хотим иметь температуру, измеряемую в единицах  $[L^{-2}]$

Отметим, что  $t = 1/\pi\sigma$  в  $d = 2$ .